

مدل‌سازی وارون دوبعدی داده‌های گرانی

علی نجاتی کلاته* و وحید ابراهیم‌زاده اردستانی*

* مؤسسه ژئوفیزیک دانشگاه تهران، صندوق پستی ۶۴۶۶-۱۴۱۵۵

(دریافت مقاله: ۸۳۶۷، پذیرش مقاله: ۸۴۳۱)

چکیده

در این مقاله از روش مدل‌سازی خطی نوینی به نام وارون‌سازی فشرده (compact inversion) برای تفسیر داده‌های گرانی‌سنجی استفاده شده است. مبنای کار در روش وارون فشرده کمینه کردن حجم چشمه بی‌هنجاری است. این امر معادل بیشینه کردن فشردگی (compactness) چشمه بی‌هنجاری است. توزیع چگالی با استفاده از روشی بر مبنای تکرارهای متوالی با همگرایی قابل ملاحظه محاسبه می‌شود. این روش را می‌توان به آسانی برای مدل‌هایی که در آنها چگالی بی‌هنجاری را می‌توان به صورت مقداری معین در کل توده در نظر گرفت، به کار برد. در این روش رفتار نوفه در داده‌ها برای وارون‌سازی داده‌ها در نظر گرفته شده است. ابتدا به توضیح روش و سپس به کاربرد عملی آن در مورد داده‌های مصنوعی و واقعی خواهیم پرداخت.

واژه‌های کلیدی: مدل‌سازی معکوس، معدن کرومیت، معکوس فشرده، روش تیخونوف

۱ مقدمه

نکته مثبت در مورد این نوع تفاسیر، اطمینان از به‌دست آوردن جسمی همگن با استفاده از چگالی مفروض است. اما در این نوع مدل‌سازی رابطه بین داده‌ها و پارامترهای مدل (که در این جا همان پارامترهای هندسی مدل هستند) به صورت غیرخطی است و معمولاً برای تبدیل این دستگاه به یک دستگاه معادلات خطی باید از تقریب‌های متداول نظیر بسط تیلور استفاده کرد. یکی دیگر از نقاط ضعف این گونه مدل‌ها نبود انعطاف در برخی از مدل‌ها به دلیل محدودیت‌های غیر قابل انکار پارامترهای مدل است. باید تأکید کرد که در این گونه مدل‌سازی‌ها، همواره در مورد رفتار نوفه در داده‌ها ابهامی باقی می‌ماند.

- روش دوم، مدل‌سازی با هندسه ثابت است مثلاً یک آرایه از بلوک‌های مکعبی در دو یا سه بعد به صورتی که چگالی می‌تواند در هر بلوک تغییر کند. در این روش رابطه بین داده‌ها و پارامترهای مدل (یعنی چگالی در هر بلوک) رابطه خطی است و همین امر به

مسئله اصلی در تفسیرهای گرانی همانند سایر روش‌های ژئوفیزیکی دیگر، تشخیص بی‌هنجاری با استفاده از مشاهدات روی سطح زمین است. به طور قطع وارون‌سازی داده‌ها در گرانی‌سنجی غیر یکتاست. این امر به دلیل وجود جواب‌های همگن در یک دستگاه معادلات به وجود می‌آید. به طور خلاصه دو روش اساسی در تفسیر داده‌های گرانی وجود دارد:

- اولین روش شامل مدل‌سازی‌هایی است که در آنها یک یا چند تباین چگالی، به همراه یک هندسه متغیر مد نظر است. این هندسه متغیر می‌تواند به صورت اشکال منظم هندسی یا مجموعه‌ای از منشورهای مکعبی شکل باشد. در این روش، هندسه جسم مورد نظر با تعدیل مدل اولیه به دست می‌آید. این روش، هم به صورت آزمون و خطا و هم به صورت خودکار، با روش‌هایی مانند مارکوآرت (marquardt) قابل استفاده است.

$$g_i = \sum_{j=1}^M a_{ij} v_j + e_i \quad i = 1, 2, \dots, N \quad (1)$$

که در آن v_j چگالی بلوک j ام و e_i نوفه در داده i ام و a_{ij} ماتریس کرنل داده‌هاست. برای a_{ij} می‌توان گفت:

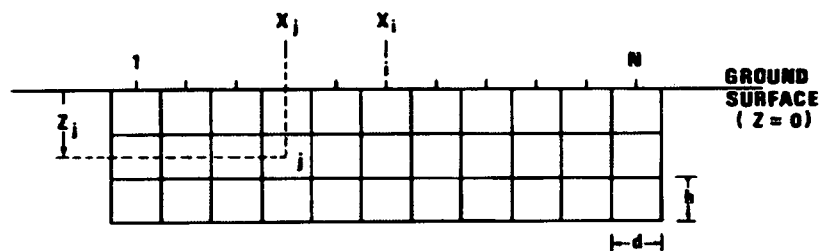
$$a_{ij} = 2\gamma[(x_i - x_j + d/2) \log(r_2 r_3 / r_1 r_4) + d \log(r_4 / r_3) - (z_i - h/2)(\theta_4 - \theta_2) + (2j - h/2)(\theta_3 - \theta_1)] \quad (2)$$

که در آن:

$$\begin{aligned} r_1^2 &= (z_j - h/2)^2 + (x_i - x_j - d/2)^2, \\ r_2^2 &= (z_j + h/2)^2 + (x_i - x_j - d/2)^2, \\ r_3^2 &= (z_j - h/2)^2 + (x_i - x_j + d/2)^2, \\ r_4^2 &= (z_j + h/2)^2 + (x_i - x_j + d/2)^2, \\ \theta_1 &= a \tan(x_i - x_j + d/2) / (z_j - h/2), \\ \theta_2 &= a \tan(x_i - x_j + d/2) / (z_j + h/2), \\ \theta_3 &= a \tan(x_i - x_j - d/2) / (z_j - h/2) \end{aligned} \quad (3)$$

و γ ثابت جهانی جاذبه است. دستگاه معادلات (۱) در شکل ماتریسی به صورت زیر است:

$$G = AV + E \quad (4)$$



شکل ۱. مدل دوبعدی در شکل بالا نقطه مشاهده i ام و بلوک هم نشان داده شده است. d و h به ترتیب طول و عرض بلوک‌ها هستند (لاست و کوییک، ۱۹۸۳).

مدل انعطاف پذیری نسبتاً خوبی می‌دهد.

روش‌های متفاوتی وجود دارد که هر کدام معیارهای گوناگونی را به منظور رفع ابهام از توزیع چگالی طرح می‌کنند. ماتل و متلوا (۱۹۷۲) از برنامه‌نویسی خطی برای پیدا کردن مدل‌های تک چگالی استفاده کردند. گرین (۱۹۷۵) از فاکتور کمینه فاصله وزن داده شده به همراه چندین روش جانبی در به دست آوردن مدل‌های تک چگالی استفاده کرد.

سافون و همکاران (۱۹۷۷) از برنامه‌نویسی خطی به همراه استفاده از همان‌های چگالی به منظور کاهش عدم قطعیت بهره گرفتند. روش وارون فشرده که در این بررسی از آن استفاده شده است، با بیشینه کردن فشرده‌گی یا کمینه کردن حجم با بهره‌گیری از روند تکرار، به وارون‌سازی داده‌های گرانی می‌پردازد.

۲ انتخاب مدل

مدلی که در این جا به کار رفته است، مدلی شناخته شده با استفاده از آرایه‌ای مستطیلی است که با ثابت نگه داشتن هندسه به هر بلوک اجازه می‌دهد تا چگالی متغیر داشته باشد. مدل در نظر گرفته شده را می‌توان در شکل ۱ مشاهده کرد. برای چنین مدلی گرانی نقطه i ام از داده‌های مشاهده‌ای به صورت زیر است: (لاست و کوییک، ۱۹۸۳).

۳ نظریه وارون سازی داده‌ها

می‌دانیم در مورد سیستم‌های خطی می‌توان گفت:

$$G = AX + \varepsilon \quad (5)$$

G : بردار داده‌ها است که مؤلفه‌های آن در n نقطه اندازه‌گیری شده‌اند.

A : ماتریس کرنل با مؤلفه‌های a_{ij} است که مؤلفه a_{ij} شتاب، شتاب قائم گرانی ناشی از بلوک j ام با چگالی واحد را روی نقطه i ام مشاهده‌ها بیان می‌کند.

X : بردار پارامترهای مدل شامل m مؤلفه.

ε : برداری است که مؤلفه‌های آن نوفه و خطای همراه داده را نشان می‌دهند.

تیخونوف به منظور حل دستگاه معادلات (۵) برای حالتی که تعداد پارامترهای مدل از تعداد معادلات بیشتر است از کمینه‌سازی تابع زیر استفاده کرد:

$$\Phi^\mu = \langle C_g^{-1}(A\bar{X} - G), A\bar{X} - G \rangle + \mu \langle C_m^{-1}\bar{X}, \bar{X} \rangle \quad (6)$$

که در آن C_g ماتریس واریانس یا کواریانس مشاهدات و μ پارامتر تنظیم کننده تیخونوف است (تیخونوف و آرسنین، ۱۹۷۷). نتیجه کمینه کردن (۶) به روش معروف تنظیم کننده تیخونوف (Tikhonov regularization) موسوم است. در این روش پارامترهای مدل به صورت زیر به دست می‌آیند:

$$\bar{X} = C_m A^T (A C_m A^T + \mu C_g)^{-1} G \quad (7)$$

ایلک (۱۹۹۳) ماتریس‌های وزنی W_m و W_g را به صورت زیر تعریف کرد:

$$W_g = \frac{1}{\sigma_g^{-1}} C_g^{-1}, W_m = \frac{1}{\sigma_m^{-1}} C_m^{-1} \quad (8)$$

که σ_m و σ_g واریانس داده‌ها و پارامترها هستند و

ماتریس‌های C_m و C_g کواریانس پارامترهای مدل و داده‌ها هستند. با جای گذاری معادلات (۸) در (۷) داریم:

(۹)

$$\bar{X} = W_m^{-1} A^T \left(A W_m^{-1} A^T + \mu \frac{\sigma_m^2}{\sigma_g^2} W_g^{-1} \right)^{-1} G$$

مسئله انتخاب پارامتر تنظیم کننده (regularization-parameter) است که در حکم مسئله‌ای پایدارکننده در روند معکوس سازی نباید کم‌ترین تأثیر را در حل داشته باشد. در روشی که لوی (۱۹۹۷) عرضه کرد، μ به گونه‌ای انتخاب می‌شود که بستگی به مشاهدات و مدل به دست آمده در تکرار قبل دارد. یعنی:

$$\mu^{(k)} = \frac{\sigma_g^2}{1 + (\sigma_e^2)^{(k-1)}} \quad (10)$$

که $\mu^{(k)}$ پارامتر تنظیم کننده در تکرار k ام است.

با این انتخاب اگر میزان برازش (بین مشاهده‌ها و داده‌های به دست آمده از راه مدل) در تکرار قبلی ناچیز بوده و بنابراین σ_e دارای مقدار بالایی است. این بدان معناست که در تکرار بعدی پارامتر μ مقدار بسیاری ناچیز است (همچنین در صورتی که پارامتر μ مقدار بزرگی داشته باشد داده‌ها نقش بسیار کمی در روند معکوس سازی به عهده دارند). در مقابل اگر میزان برازش زیاد باشد در این صورت σ_e مقدار ناچیزی است و پارامتر μ به طور کامل با σ_g کنترل می‌شود.

در صورتی که هیچ گونه اطلاعات اولیه در ارتباط با اهمیت داده‌ها در نقاط مختلف اندازه‌گیری در دست نباشد، می‌توان ماتریس وزنی داده‌ها را به صورت زیر تعریف کرد:

$$W_g^{-1} = I \quad (11)$$

که I همان ماتریس همانی است. با جای گذاری مقادیر W_g^{-1} و μ از معادلات (۱۱) و (۱۰) در معادله (۹) داریم:

(۱۲) تکرار به صورت زیر: (لاست و کوییک، ۱۹۸۳).

$$\left[W_m^{*(k)} \right]_{jj}^{-1} = \eta + \left[\bar{x}_j^{(k-1)} \right]^2 \left\{ 1 - \Theta \left[\bar{x}_j^{(k-1)} / x_0 \right] \right\} \quad (15)$$

۵- محاسبه بردار گرانی کاهش یافته (reduced gravity vector) به منظور حذف اثر بلوک‌هایی که به مثابه پاسخ انتخاب شده‌اند و استفاده مجدد از رابطه (۱۲) در تکرار بعد.

۶- مراحل ۳ تا ۵ را تکرار می‌کنیم تا مدل به همگرایی قابل قبولی برسد. همگرایی مطلوب زمانی است که تغییر فاحش در چگالی‌ها نداشته باشیم و RMS (root mean square) بین داده‌های محاسبه شده با مدل و داده‌های مشاهده‌ای از حد معینی با نظر مفسر کمتر باشد.

۵ وارون‌سازی داده‌های مصنوعی

به منظور بیان کارایی روش به طرح دو مثال با داده‌های بدون نوفه و بررسی مثالی با داده‌هایی همراه نوفه می‌پردازیم. توجه به یک نکته ضروری است که در اضافه کردن نویز به داده‌ها از همان روشی که لاست و کوییک (۱۹۸۳) به کار بردند، استفاده شده است.

در مثال اول مدل در نظر گرفته شده به همراه بی‌هنجاری ناشی از آن در شکل ۲ نشان داده شده است. طول پروفیل ۴۰۰ متر در نظر گرفته شده و فواصل نقاط برداشت ۵۰ متر است. مدل مصنوعی با تباین چگالی 1.5 gcm^{-3} با بلوک‌های تیره در شکل ۲ نشان داده شده است. در شکل ۲ نتایج تکرارهای متوالی تا رسیدن به همگرایی لازم و رسیدن به مدل مصنوعی در نظر گرفته شده نشان داده شده است.

در شکل‌های ۲ خطای میانگین مجذور (root mean-square) بین داده‌های محاسبه شده با مدل و داده‌های مصنوعی نیز آورده شده است. مشاهده می‌شود که با

$$\bar{X} = W_m^{-1} A^T \left(A W_m^{-1} A^T + \frac{\sigma_m^2}{1 + \sigma_e^2} I \right)^{-1} G$$

مقدار σ_m اطلاعاتی اولیه محسوب نمی‌شود، σ_m را می‌توان از نتایج وارون‌سازی در تکرارهای قبلی به دست آورد. بنابراین σ_m و σ_e به صورت زیر تعریف می‌شوند:

$$\left[\sigma_m^2 \right]^{(k)} = \frac{\sum_{j=1}^m \left[\bar{x}_j \right]^{(k-1)}}{(m-1)} \quad (13)$$

$$\left[\sigma_e^2 \right]^{(k)} = \frac{\sum_{i=1}^n \left\{ g_i - \sum_{j=1}^m a_{ij} \left[\bar{x}_j \right]^{(k-1)} \right\}^2}{(n-1)} \quad (14)$$

که $\left[\sigma_m^2 \right]^{(k)}$ و $\left[\sigma_e^2 \right]^{(k)}$ خطا و واریانس در تکرار k ام اند.

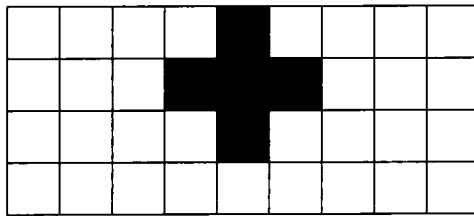
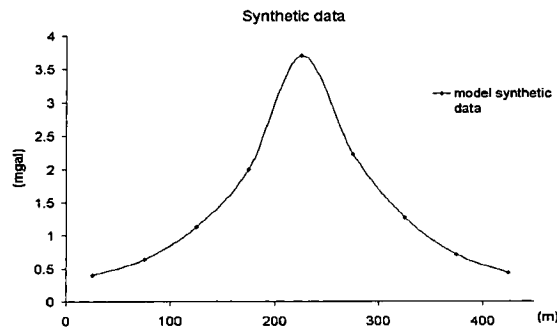
در روشی که الگوریتم را بیان می‌کنیم، مقادیر چگالی آن دسته از بلوک‌هایی که چگالی‌شان از چگالی هدف گذشته، با چگالی هدف در تکرار قبلی است. این بلوک‌ها به مثابه جواب انتخاب می‌شوند و اثر آنها از روی داده‌ها با اختصاص وزن مناسب در تکرار بعدی حذف می‌شود.

۴ الگوریتم وارون‌سازی داده‌ها

۱- محاسبه کرنل داده‌ها A و ذخیره کردن آن در حافظه برای کاربرد آن در طول برنامه
۲- در تکرار اول ماتریسی همانی برای ماتریس وزنی پارامترهای مدل در نظر گرفته می‌شود و مقادیر σ_m و σ_e برابر صفر محسوب می‌شوند.

۳- محاسبه مقادیر σ_m و σ_e .

۴- محاسبه ماتریس وزنی برای پارامترهای مدل در هر



■ 1.5 gr/cm³

-0.3	-0.3	-0.1	-12.3	100	-14.5	-0.2	-0.3	-0.2
	-0.2	-2.3	-17.2	-41.5	-15.7	-2.3	-0.2	
-0.1	-0.6	-2.3	-6.7	-10	-6.5	-2.3	-0.6	-0.1
-0.2	-0.6	-1.6	-2.9	-3.7	-2.9	-1.5	-0.6	-0.2

نتایج وارون‌سازی در تکرار اول با
RMS = 25.3 mgal

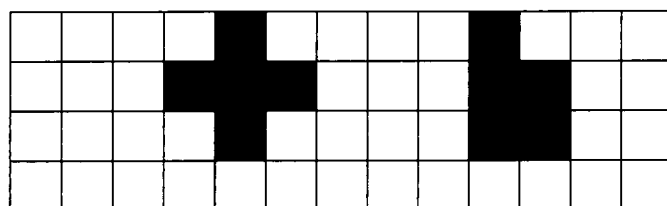
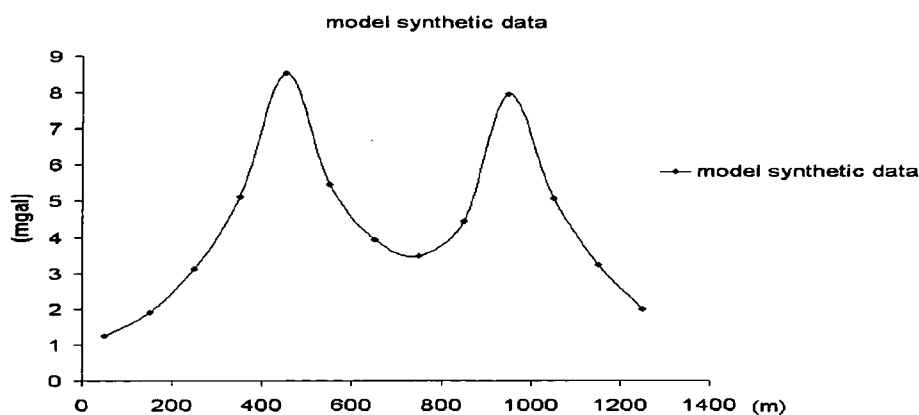
			81.6	36.8	47.7			
		0.9	62.9	246	27.8	0.3		
		0.7	6.2	11.9	3.9	0.3		
		0.2	0.9	1.3	0.7	0.1		

نتایج وارون‌سازی در تکرار سوم با
RMS = 0.0016 mgal

				100				
			100	100	100			
				100				

نتایج وارون‌سازی در تکرار پنجم با
RMS = 4.59 × 10⁻¹¹ mgal

شکل ۲. نمایش مدل و بی‌هنجاری ناشی از آن با تباین چگالی 1.5 grcm⁻³ و ابعاد شبکه ۵۰ متر. نتایج وارون‌سازی در تکرارهای اول، سوم و پنجم نشان داده شده است. چگالی‌ها در هر بلوک به صورت درصدی از چگالی مدل نشان داده شده‌اند و بلوک‌های خالی دارای چگالی صفرند.



1.5 gr/cm³

0.6	0.6	0.7	42	100	53		5.6	0.2	100	101	5	0.2
0.1	0.8	8.6	57	154	80	21.2	13.3	50.8	154	80	15	2.3
0.8	2.9	10.4	29	50	44.2	29.3	26	37.7	49	35	14	4.8
1.5	3.7	8.7	17	24	26	24	23	25.1	25.2	19.3	11	5.2

نتایج وارون‌سازی در تکرار اول با
RMS = 67.4 mgal

			-1	99.5	0.3				99.3	0.2	0.1	
		-0.5	100	100	89.6			3.6	119.1	100	0.9	1.8
		1	24.8	110	37.7	0.4	0.2	4.4	40	110.8	2.7	
		0.1	17.9	9	2.1	1.3	3.4	8.3	4.3	0.2		

نتایج وارون‌سازی در تکرار چهارم با
RMS = 0.0004 mgal

				100					100			
			100	100	100				100	100		
				100					100	100		
				97.1								

نتایج وارون‌سازی در تکرار ششم با
RMS = 5.38 × 10⁻¹⁶ mgal

شکل ۳. نمایش مدل و بی‌هنجاری ناشی از آن با تعیین چگالی 1.5 gr/cm⁻³ و ابعاد شبکه ۱۰۰ متر. نتایج وارون‌سازی در تکرارهای اول، چهارم و ششم نشان داده شده است. چگالی‌ها در هر بلوک به صورت درصدی از چگالی مدل نشان داده شده‌اند و بلوک‌های خالی دارای چگالی صفرند.

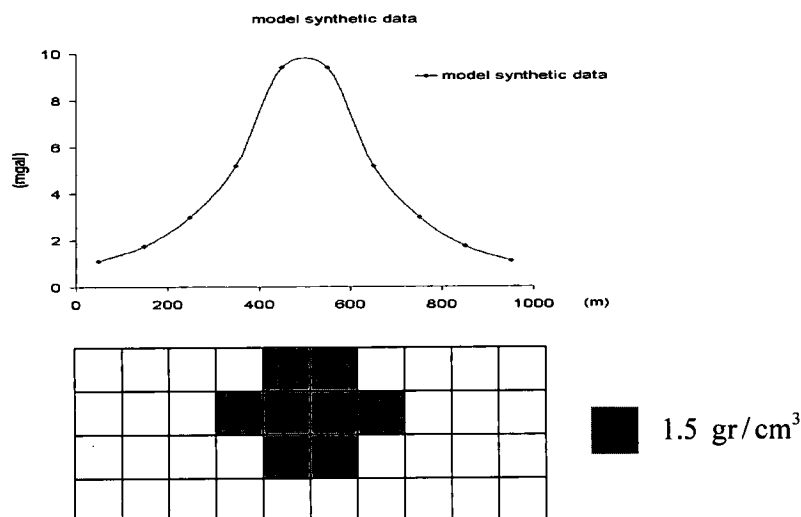
در مدل RMS در هر تکرار کم تر شده و در نهایت در تکرار ششم به کمترین مقدار خود رسیده است. قابل ذکر است در تکرارهای بعدی نیز RMS تقریباً ثابت می ماند و مدل پایدار می شود.

در مثال سوم به وارون سازی داده هایی همراه با نوفه می پردازیم. طول پروفیل ۹۰۰ متر در نظر گرفته شده و فواصل نقاط برداشت از یکدیگر ۱۰۰ متر است. مدل مصنوعی با تباین چگالی 1.5 grcm^{-3} توسط بلوک های تیره و بی هنجاری ناشی از آن در شکل ۴-الف نشان داده شده است. توجه کنید که مدل برای داده های بدون نوفه بعد از پنج تکرار همگرا شده است. برای مطالعه اثر نوفه روی داده ها به نقاط مختلف پروفیل داده ها درصدهای متفاوتی از نوفه را اضافه می کنیم و وارون سازی را با داده های نوفه ای به انجام می رسانیم.

پیشرفت روند وارون سازی RMS نیز کاهش می یابد. معیار قطع وارون سازی نیز بر این اصل بنا شده است که بعد از همگرایی، مدل چگالی در بلوک ها تغییر محسوس نداشته و تکرارهای متوالی دارای RMS های تقریباً شبیه به هم باشند.

در مثال دوم به بررسی یک بی هنجاری تداخلی می پردازیم. طول پروفیل ۱۲۰۰ متر در نظر گرفته شده و فواصل نقاط برداشت از یکدیگر ۱۰۰ متر است. مدل مصنوعی با تباین چگالی 1.5 grcm^{-3} ، با بلوک های تیره و بی هنجاری ناشی از آن در شکل ۳ نشان داده شده است.

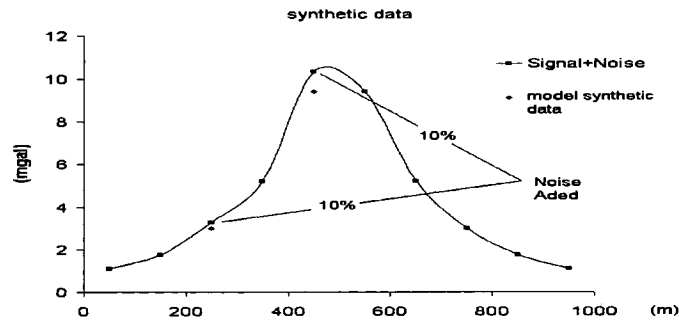
نتایج وارون سازی در تکرارهای اول، چهارم و ششم در شکل ۳ نشان داده شده است. همان طور که انتظار می رود با پیشرفت روند وارون سازی و افزایش همگرایی



شکل ۴-الف. مدل در نظر گرفته شده برای مثال سوم. مدل با بلوک های تیره با تباین چگالی 1.5 grcm^{-3} مشخص شده است.

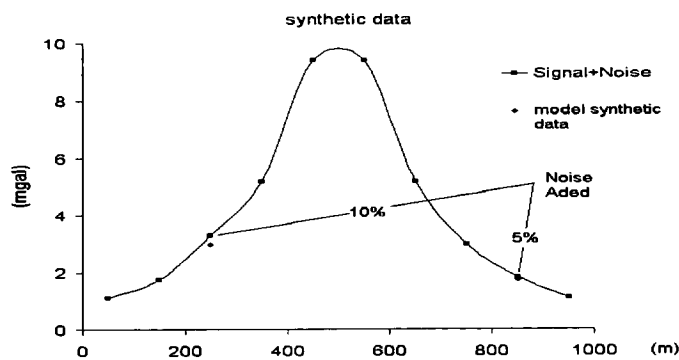
در شکل ۴-ج به داده سوم و نهم پروفیل داده‌ها به ترتیب ۱۰ درصد و ۵ درصد نوفه اضافه شده است و وارون‌سازی با داده‌هایی که به این ترتیب به دست آمده‌اند در شکل یادشده آمده است. مدل بعد از هشت تکرار با $RMS = 0.00628 \text{ mgal}$ همگرا شده است.

در شکل ۴-ب به داده سوم و پنجم در طول پروفیل ۱۰ درصد نوفه اضافه شده است و وارون‌سازی با داده‌های نوفه‌ای انجام شده است. نتایج وارون‌سازی بعد از هشت تکرار و $RMS = 9.16 \times 10^{-7} \text{ mgal}$ نشان داده شده است.



	-1.7	10	-5	120	96.1				
	-3		100	100	100	101			
				100	96.5				

شکل ۴-ب. نتایج وارون‌سازی داده‌های نوفه‌ای در تکرار هشتم با $RMS = 9.1 \times 10^{-7} \text{ mgal}$ و همگرایی مطلوب مدل.



	-2.6	9		102	103				
			90	100	85	105			
			15	100	100				

شکل ۴-ج. نتایج وارون‌سازی داده‌های نوفه‌ای در تکرار هشتم با $RMS = 0.00628 \text{ mgal}$ و همگرایی مطلوب مدل.

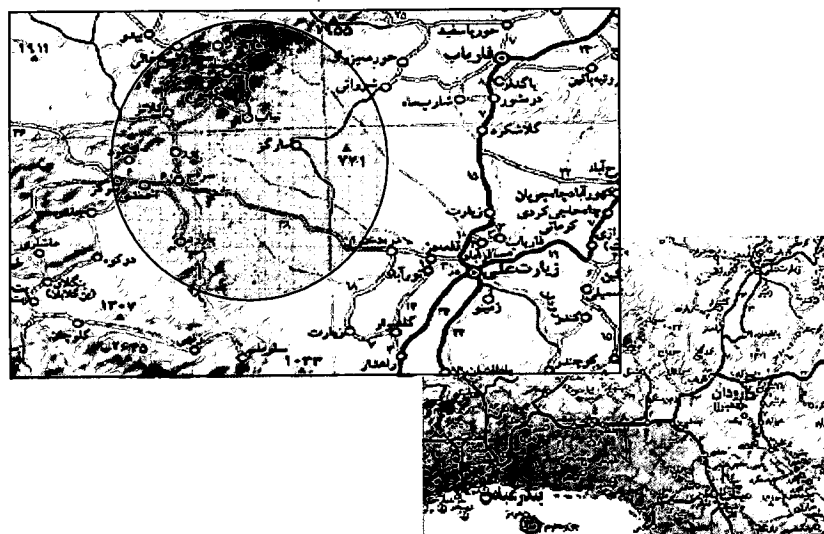
۵ واریون سازی داده‌های واقعی

در این بخش به مدل سازی داده‌های واقعی می‌پردازیم. پتانسیل معدنی مورد نظر در بخش رودان از استان هرمزگان واقع شده است. در شکل ۵ موقعیت تقریبی منطقه نشان داده شده است.

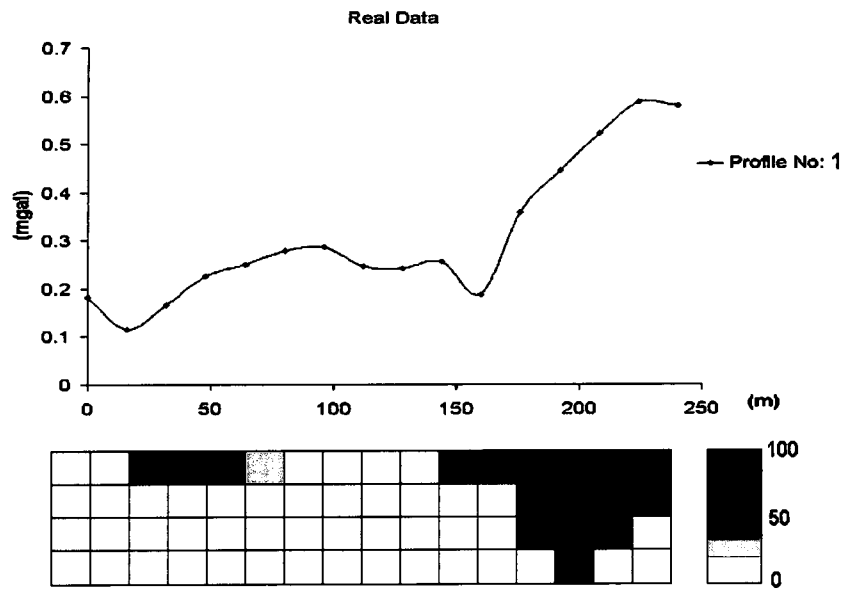
برای تعیین چگالی میانگین منطقه، از روش نمونه برداری آزمایشگاهی استفاده شده است. سنگ‌های سطحی عمدتاً از نوع هارزبورژیت به همراه بلورهای نسبتاً متوسط اولیون هستند. چگالی این نوع سنگ‌ها به طور متوسط 2.79 gcm^{-3} اندازه‌گیری شده است. ماده معدنی در نمونه نسبتاً خالص دارای چگالی تقریباً 4 gcm^{-3} است. بنابراین در واریون سازی داده‌های واقعی، تباین چگالی 1.21 gcm^{-3} در نظر گرفته شده است.

مدل سازی برای دو پروفیل داده‌های گرانی در ناحیه صورت گرفته است. در شکل ۶ بی‌هنجاری ناشی از این پروفیل ۱ و نتایج مدل سازی واریون با روش واریون فشرده به صورت مجزا نشان داده شده است. مدل در نظر گرفته شده دارای چهار لایه با ضخامت ده متر است که طول هر

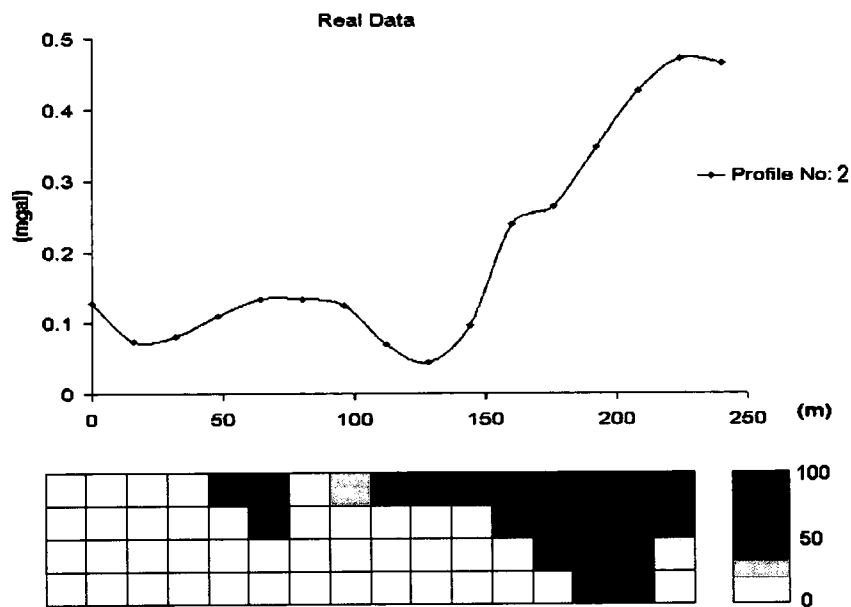
بلوک به اندازه فواصل داده‌ها یعنی شانزده متر منظور شده است. طول کل پروفیل در نظر گرفته شده ۲۴۰ متر است. همگرایی مناسب بعد از سیزده تکرار حاصل شده است. RMS بین داده‌های محاسبه شده با مدل و داده‌های واقعی $7.25 \times 10^{-6} \text{ mgal}$ است. در شکل ۷ نتایج مدل سازی به همراه بی‌هنجاری مشاهده شده از پروفیل ۲ با همان مدل چهار لایه که برای پروفیل ۴ به کار برده شد، آورده شده است. مدل بعد از ده تکرار با $RMS = 2.78 \times 10^{-12} \text{ mgal}$ همگرا شده است. در مورد $RMS = 0.00628 \text{ mgal}$ ، این خطای میانگین مجذور برای مثال مصنوعی همراه با نوفه در نظر گرفته شده است. از آنجا که نحوه پارامتری کردن در قبل و بعد از اضافه کردن نوفه به منظور مقایسه تغییر نکرده است، بهترین برازش داده‌های نظری و واقعی با RMS داده شده آمده است. اما در مورد مثال واقعی به دلیل انتخاب ابعاد مناسب بلوک‌ها و نحوه پارامتری کردن مدل، داده‌های نظری تا حد زیادی به داده‌های واقعی نزدیک می‌شود و مقادیر RMS 10^{-7} mgal و 10^{-12} mgal به دست آمده است که دقت بالای مدل را نشان می‌دهد.



شکل ۵. موقعیت جغرافیایی منطقه مورد مطالعه واقع در استان هرمزگان.



شکل ۶. بی‌هنجاری برداشت شده در پروفیل ۱ و نتایج وارون‌سازی داده‌ها و همگرایی مدل بعد از سیزده تکرار با $RMS = 7.25 \times 10^{-6}$ mgal در این‌جا هم مانند مثال‌های مصنوعی چگالی‌ها در هر بلوک به صورت درصدی از چگالی هدف نشان داده شده است.



شکل ۷. بی‌هنجاری برداشت شده در پروفیل ۲ و نتایج وارون‌سازی داده‌ها و همگرایی مدل بعد از ده تکرار با $RMS = 2.78 \times 10^{-12}$ mgal در این‌جا هم مانند مثال‌های مصنوعی چگالی‌ها در هر بلوک به صورت درصدی از چگالی هدف نشان داده شده است.

- Koch, K. R., 1988, Parameter estimation and hypothesis testing ion linear models: Springer-Verlag Berlin.
- Last, B. J. J., and Kubik, K., 1983, Compact gravity inversion: Geophysics, Soc. of Expl. Geophys., **48**, 713-721.
- Lewi, E., 1997, Modeling and inversion of high precision gravity data, Ph.D. thesis, Darmstadt University.
- Mottl, J., and Mottlova, L., 1972, Solution of the inverse gravimetric problem with aid of integer linear programming: Geoxpl., **10**, 53-62.
- Safon, C., Vasseur, G., and Cuer, M., 1977, Some applications of linear programming to the inverse gravity problem: Geophys., **42**, 1215-1229.
- Tikhonov, A. N., and Arsenin. V. Y., 1977, Solutions of ill-posed problem: John Wiley and Sons, New York.

۶ نتیجه گیری

معمولاً توده‌های کرومیتی از دیدگاه زمین‌شناسی به صورت عدسی شکل تشکیل می‌شوند که نتایج مدل‌سازی دوبعدی این شکل را برای توده کرومیتی مورد مطالعه تأیید می‌کند. با در نظر گرفتن نتایج مدل‌سازی دوبعدی که در شکل‌های ۶ و ۷ به آن اشاره شد بیشترین حجم توده در لایه‌های سطحی تا عمق ۲۰ متر قرار گرفته است. چون حفاری عمیق در منطقه صورت نگرفته است بهترین نقطه به منظور حفاری نقطه‌ای به فاصله حدودی ۲۱۰ متر از ابتدای پروفیل است. همچنین ترانسه‌های حفر شده کم عمق در منطقه با بی‌هنجاری‌های کوچک در فواصل ۳۰ تا ۸۰ متر از ابتدای پروفیل با نتایج مدل‌سازی تطابق خوبی را نشان می‌دهد.

تشکر و قدردانی

لازم می‌دانیم از آقایان مهندس ابراهیم شاهین و مهندس شهریار جوادی‌پور از سازمان زمین‌شناسی کشور به دلیل در اختیار قرار دادن داده‌ها و همکاری صمیمانه تشکر کنیم.

منابع

- Backus, G. E., and Gilbert, J. F., 1988, Numerical application of a formalism for geophysical inversion, in Lines, L. R., Ed., Inversion of geophysical data: Soc. of Expl. Geophys., **9**.
- Frankline, J. N., 1970, Well-posed stochastic extensions of ill-posed linear problem: J. Math. Anal. & Appl., **31**, 682-716.
- Green, W. R., 1975, Inversion of gravity profiles by use of a Backus-Gilbert approach: Geophys., **40**, 763-772. (Discussion in GEO-41-04-0777-0777, Reply in GEO-41-04-0777-0778).
- Ilk, K. H., 1993, Regularization for high resolution gravity field recovery by future satellite technique, Proceeding of International Conference held in Potsdam, Akademie Verlag, Berlin.